

پردازش سیگنال های دیجیتال

فصل ششم ساختارهای سیستم های گسسته در زمان

ارایه شده توسط:

حجت قیمت گر
استادیار دانشگاه خلیج فارس بوشهر

بلوک دیاگرام معادلات تفاضلی خطی

ساختارهای اساسی فیلترهای IIR

ساختار اساسی فیلترهای FIR

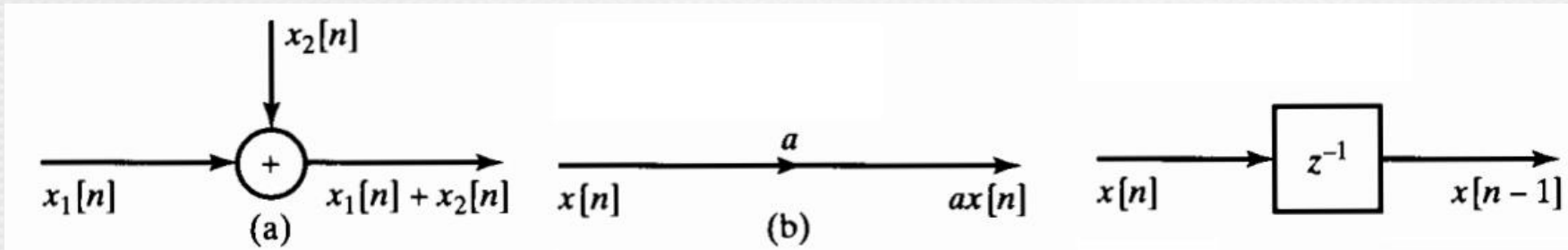
اثر کوانتیزاسیون ضرایب فیلتر

پیاده سازی فیلتر به کمک ساختار Lattice

سیستم‌هایی که رابطه ورودی و خروجی آنها با یک معادله تفاضلی مشخص می شود:

بلوک دیاگرام سیستم‌های LTI گسسته در زمان:

برای تحقق یک سیستم LTI به سه عنصر نیاز است:



می‌خواهیم با استفاده از این سه عنصر، سیستم‌های سببی با رابطه تفاضلی را پیاده سازی کنیم. رابطه کلی چنین سیستمی به صورت زیر است:

$$\sum_{k=0}^N a_k y[n-k] = \sum_{k=0}^M b_k x[n-k]$$

دیدیم که اگر a_k ها به ازای $k \geq 1$ غیر صفر باشند، با یک سیستم IIR مواجه هستیم. طول سیستم IIR بینهایت است و بنابراین نمی‌توان این سیستم را به صورت دیجیتالی تولید و ذخیره کرد و نمی‌توان از عملگر کانولوشن استفاده کرد.

با استفاده از ساختار بلوک دیاگرامی زیر می‌توان یک سیستم IIR را به طور دقیق پیاده سازی کرد.

بلوک دیاگرام
معادلات تفاضلی

ساختارهای
فیلترهای IIR

ساختارهای
فیلترهای FIR

اثر کوانتیزاسیون
ضرایب

ساختارهای
Lattice

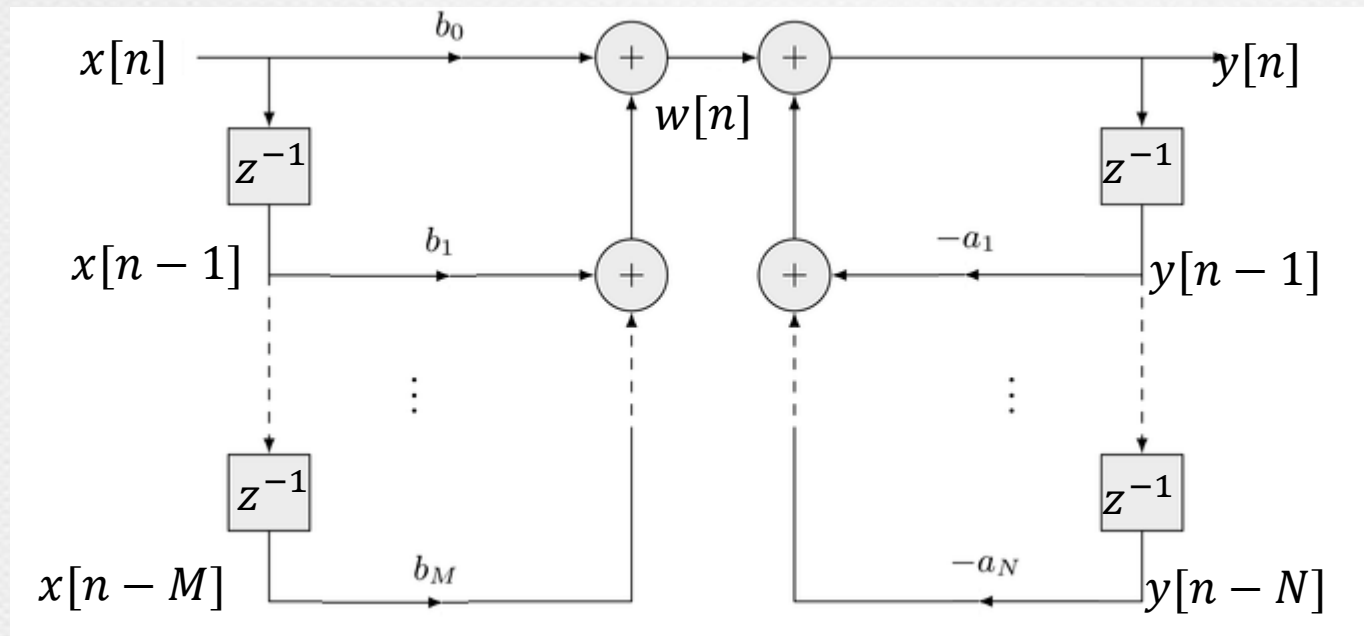
سیستم‌هایی که رابطه ورودی و خروجی آنها با یک معادله تفاضلی (دیفرانسیلی) مشخص می شود:

$$a_0 y[n] + a_1 y[n-1] + \dots + a_N y[n-N] = b_0 x[n] + b_1 x[n-1] + \dots + b_M x[n-M]$$

با فرض $a_0 = 1$ داریم:

$$y[n] = b_0 x[n] + b_1 x[n-1] + \dots + b_M x[n-M] - a_1 y[n-1] - \dots - a_N y[n-N]$$

Direct Form I



سیستم LTI اول

سیستم LTI دوم

نکته: در ساختار *Direct Form I* به $N + M$ حافظه نیاز است.

بلوک دیاگرام
معادلات تفاضلی

ساختارهای
فیلترهای IIR

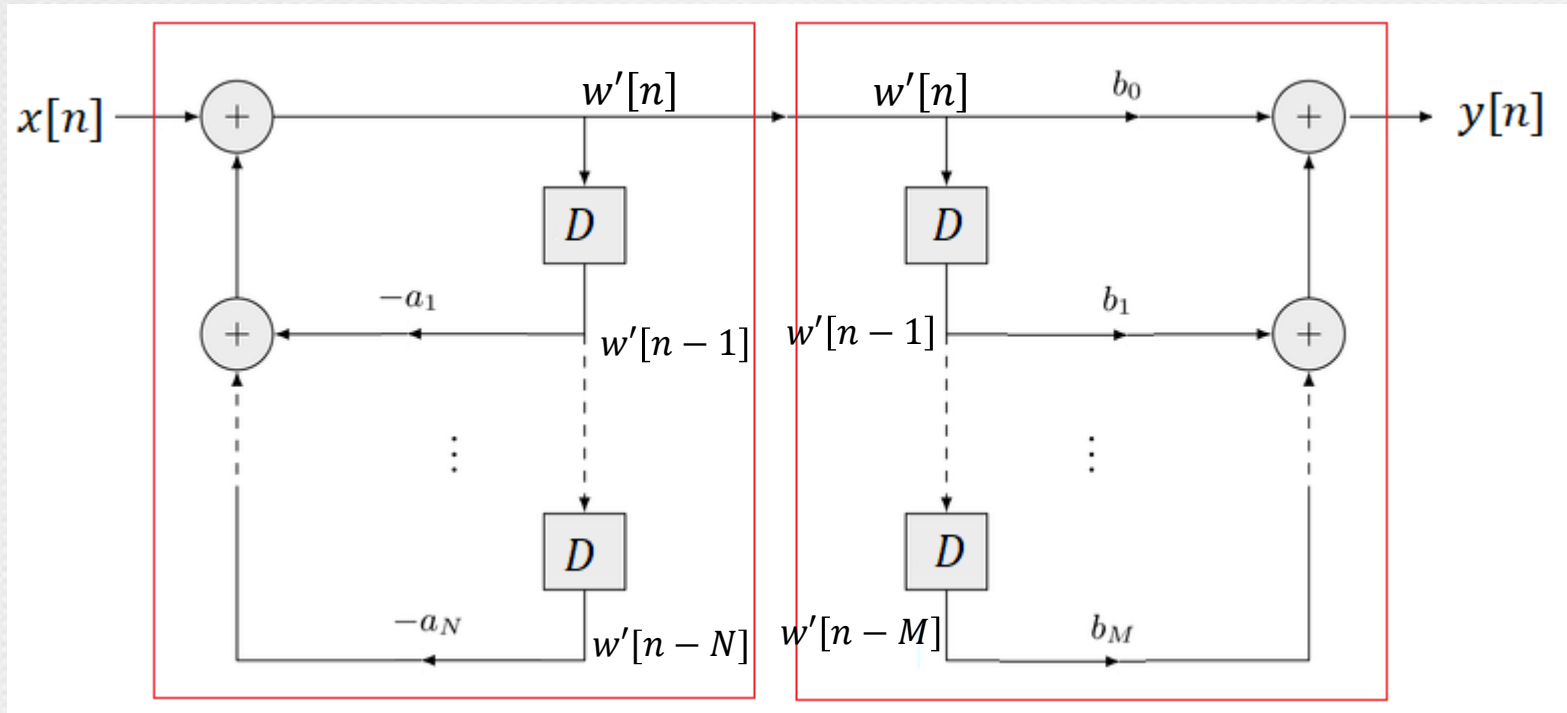
ساختارهای
فیلترهای FIR

اثر کوانتیزاسیون
ضرایب

ساختارهای
Lattice

سیستم‌هایی که رابطه ورودی و خروجی آنها با یک معادله تفاضلی (دیفرانسیلی) مشخص می شود:

از ویژگی‌های سیستم LTI می‌دانیم که می‌توان جای دو سیستم LTI را با هم عوض کرد. با تغییر جای دو سیستم LTI داریم:



سیستم LTI دوم

سیستم LTI اول

نکته: در ساختار بالا نقاط میانی مشابه هم هستند، پس می‌توان یکی از شاخه‌های میانی را حذف کرد.

بلوک دیاگرام
معادلات تفاضلی

ساختارهای
فیلترهای IIR

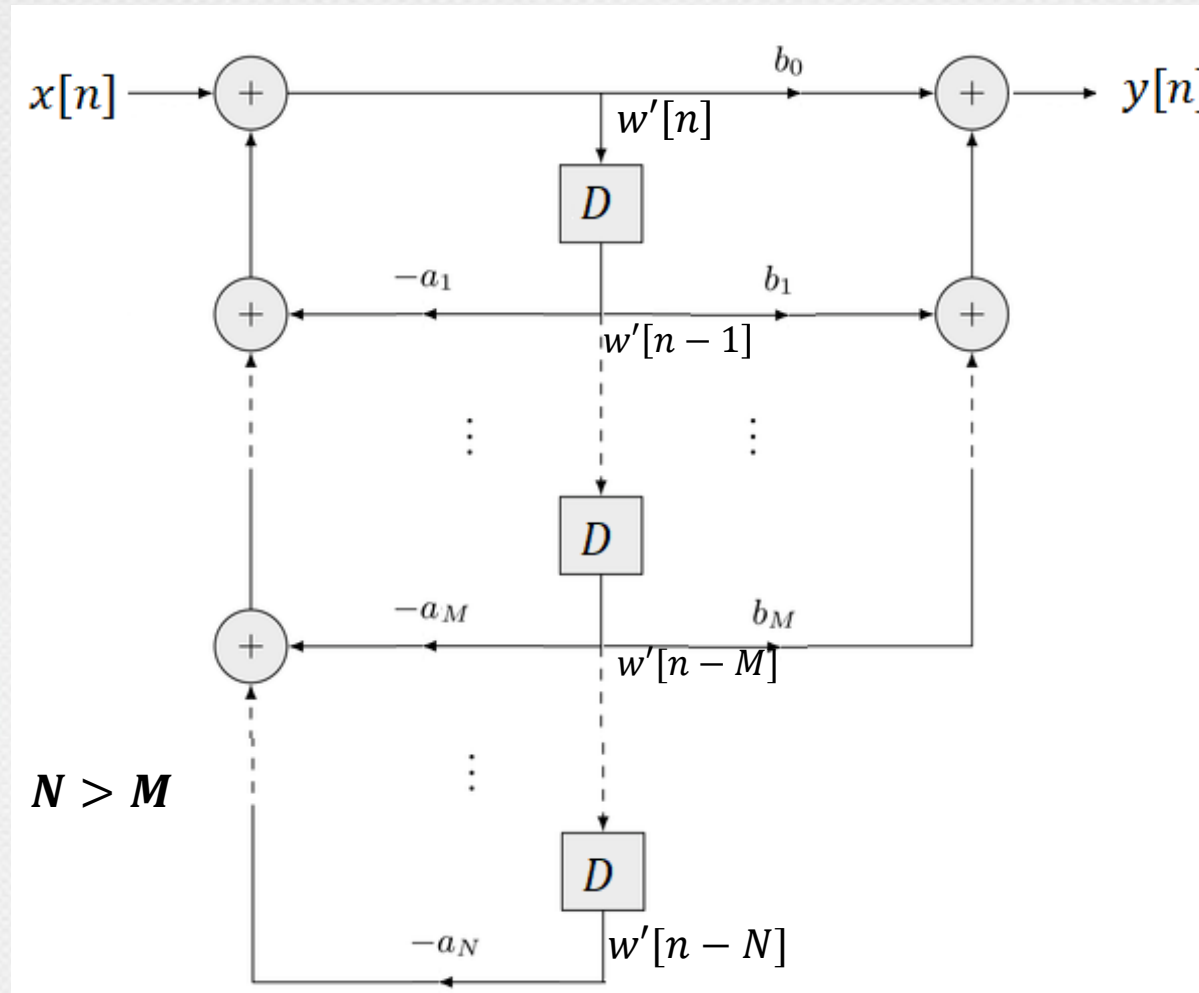
ساختارهای
فیلترهای FIR

اثر کوانتیزاسیون
ضرایب

ساختارهای
Lattice

سیستم‌هایی که رابطه ورودی و خروجی آنها با یک معادله تفاضلی (دیفرانسیلی) مشخص می شود:

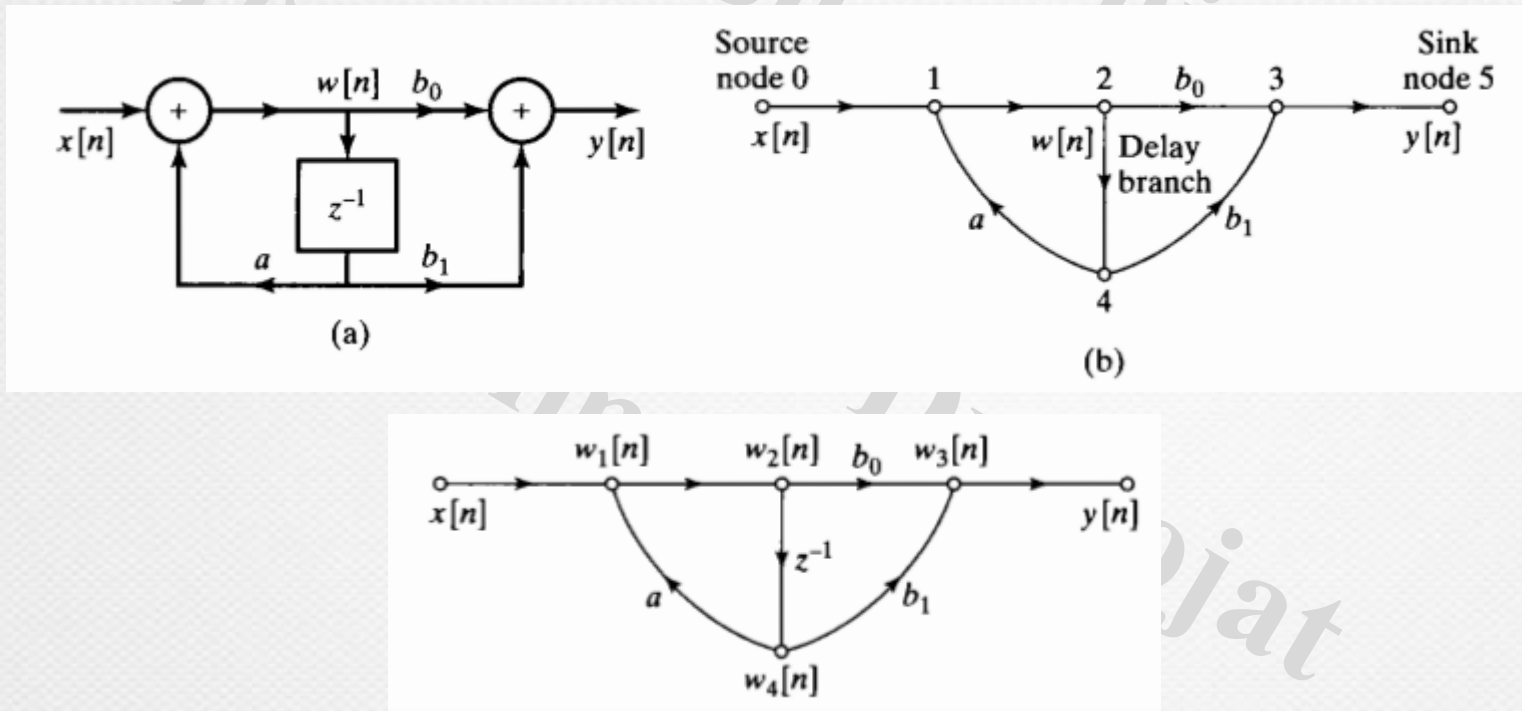
Direct Form II



نکته: در ساختار *Direct Form II* به $\max(N, M)$ حافظه نیاز داریم که کمتر از ساختار *Direct Form I* است.

بلوک دیاگرام معادلات تفاضلی با ضرایب ثابت

- ❖ به منظور طرز نمایش آسان تر نسبت به طرز نمایش های معرفی شده از ساختار Flow Graph استفاده می شود.
- ❖ در این ساختار از گره به جای جمع شونده و از فلش به عنوان z^{-1} (تاخیر) استفاده می شود.
- ❖ برای مثال ساختارهای زیر با یکدیگر معادل هستند:



بلوک دیاگرام
معادلات تفاضلی

ساختارهای
فیلترهای IIR

ساختارهای
فیلترهای FIR

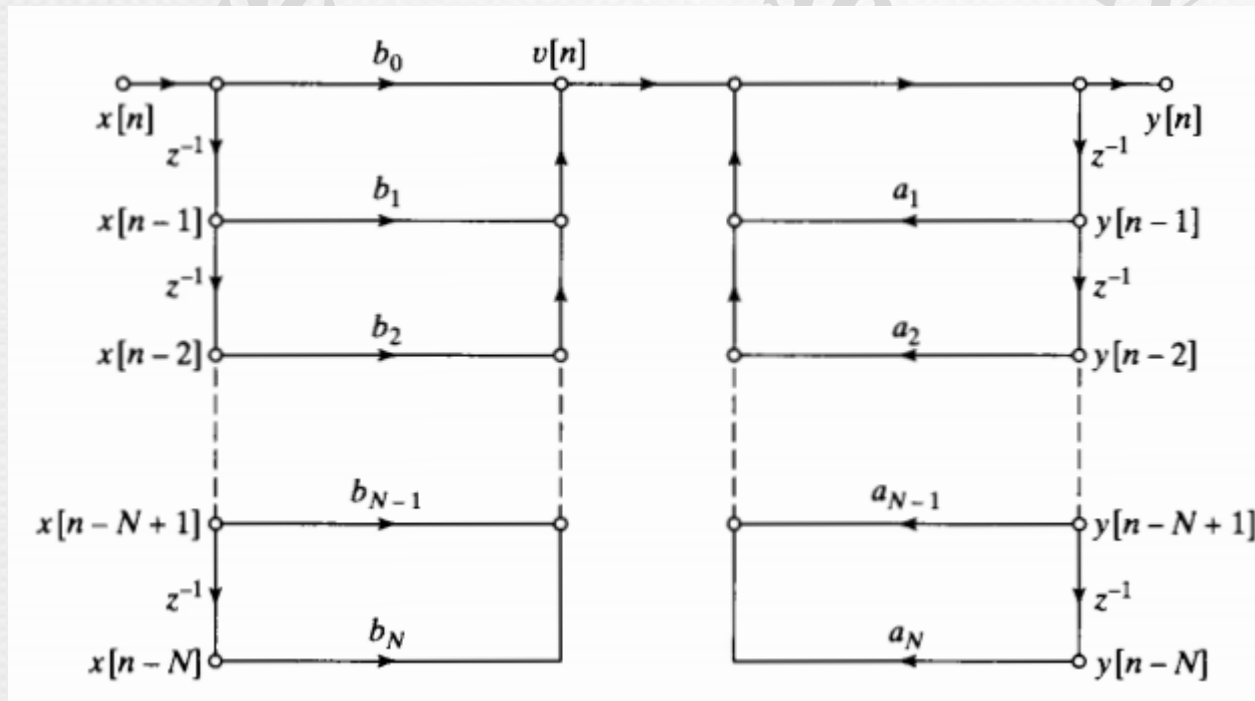
اثر کوانتیزاسیون
ضرایب

ساختارهای
Lattice

ساختار فیلترهای IIR

- ❖ می‌توان با استفاده از هر ساختارهای Direct Form I و Direct Form II تمام سیستم‌های IIR را پیاده‌سازی کرد.
- ❖ در این زیربخش این دو ساختار با طرز نمایش Flow Graph و دو ساختار سری و موازی برای پیاده‌سازی فیلترهای IIR معرفی می‌شود

الف) ساختارهای Direct Form I



بلوک دیاگرام
معادلات تفاضلی

ساختار فیلترهای
IIR

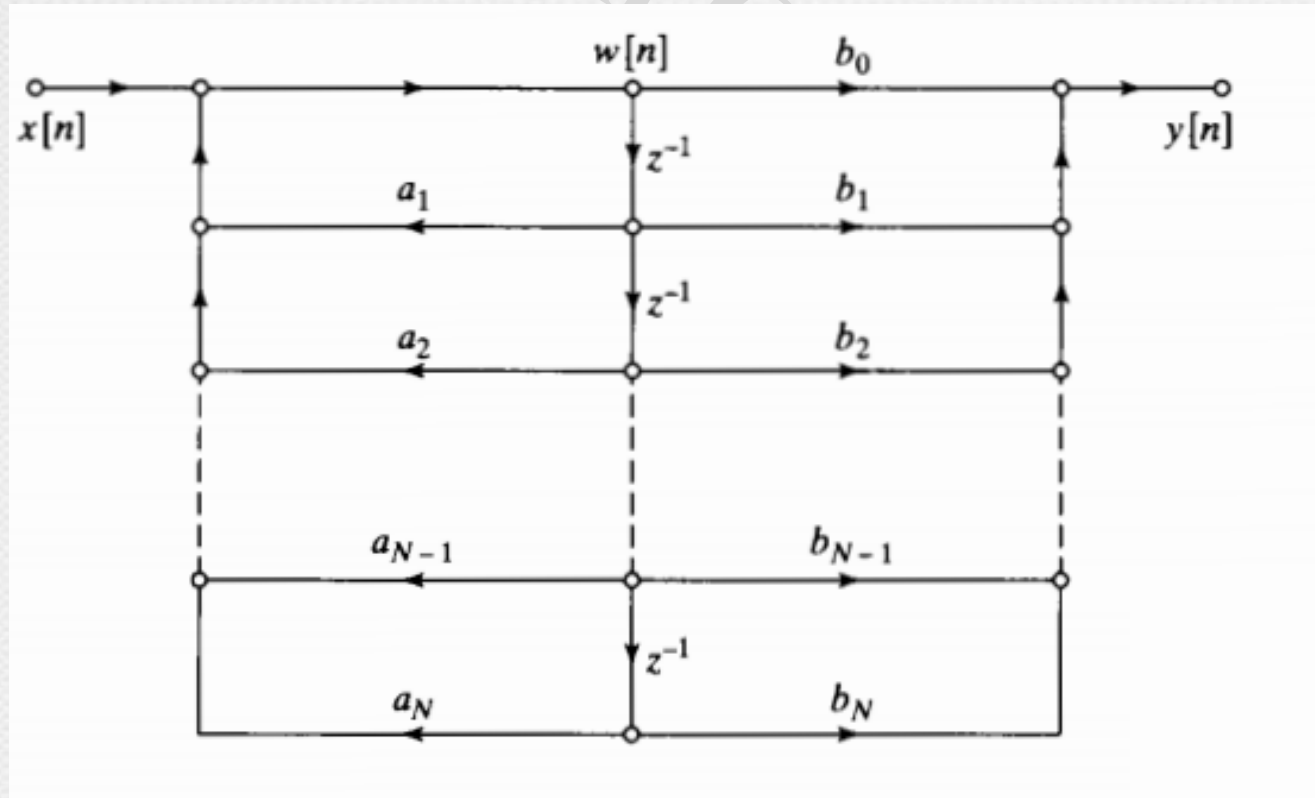
ساختار فیلترهای
FIR

اثر کوانتیزاسیون
ضرایب

ساختارهای
Lattice

ساختار فیلترهای IIR

ب) ساختارهای Direct Form II



بلوک دیاگرام
معادلات تفاضلی

ساختار فیلترهای
IIR

ساختار فیلترهای
FIR

اثر کوانتیزاسیون
ضرایب

ساختارهای
Lattice

ساختار فیلترهای IIR

ج) ساختارهای سری Cascade

در ساختار سری، به جای استفاده از رابطه مستقیم، صورت و مخرج $H(z)$ به صورت حاصلضرب عوامل درجه اول نوشته می‌شود:

$$H(z) = \frac{A(z)}{B(z)} = \frac{\sum_{k=0}^M b_k z^{-k}}{\sum_{k=0}^N a_k z^{-k}} = A \frac{\prod_{k=1}^M (1 - c_k z^{-1})}{\prod_{k=1}^N (1 - d_k z^{-1})}$$

❖ که c_k ها و d_k ها به ترتیب صفر و قطب غیر صفر تابع $H(z)$ هستند که در حالت کلی می‌توانند مختلط باشند.

❖ با توجه به اینکه ضرایب چندجمله ای صورت و مخرج، حقیقی هستند پس اگر c_k (d_k) یک صفر (قطب) مختلط باشد، آنگاه قطعاً c_k^* (d_k^*) هم صفر (قطب) تابع $H(z)$ است.

❖ بنابراین به منظور کاهش محاسبات و حذف ضرب و جمع مختلط می‌توان عبارت بالا را به صورت زیر نوشت:

$$H(z) = A \frac{\prod_{k=1}^{M_1} (1 - c_{1,k} z^{-1}) \prod_{k=1}^{M_2} (1 - c_{2,k} z^{-1})(1 - c_{2,k}^* z^{-1})}{\prod_{k=1}^{N_1} (1 - d_{1,k} z^{-1}) \prod_{k=1}^{N_2} (1 - d_{2,k} z^{-1})(1 - d_{2,k}^* z^{-1})}$$

که $M = M_1 + 2M_2$ و $N = N_1 + 2N_2$

بلوک دیاگرام
معادلات تفاضلی

ساختار فیلترهای
IIR

ساختار فیلترهای
FIR

اثر کوانتیزاسیون
ضرایب

ساختارهای
Lattice



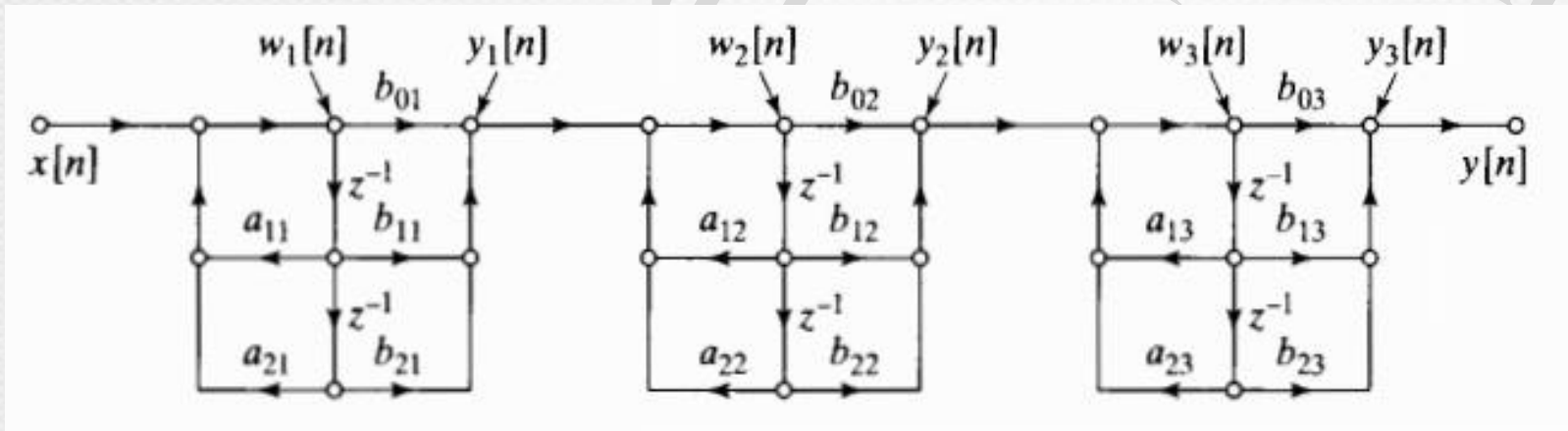
ساختار فیلترهای IIR

در ادامه می‌توان عبارتهای درجه ۲ زیر نوشت:

$$H(z) = A \frac{\prod_{k=1}^{M_1} (1 - c_{1,k} z^{-1}) \prod_{k=1}^{M_2} (1 - 2\text{Re}\{c_{2,k}\} z^{-1} + |c_{2,k}|^2 z^{-2})}{\prod_{k=1}^{N_1} (1 - d_{1,k} z^{-1}) \prod_{k=1}^{N_2} (1 - 2\text{Re}\{d_{2,k}\} z^{-1} + |d_{2,k}|^2 z^{-2})}$$

❖ در این صورت می‌توان از اتصال سری سیستم‌های درجه ۱ یا ۲ رابطه بالا را پیاده‌سازی کرد.

❖ برای مثال با فرض اینکه $M_2 = N_2 = 3$ باشد و ترم درجه ۱ وجود نداشته باشد داریم:



بلوک دیاگرام
معادلات تفاضلی

ساختار فیلترهای
IIR

ساختار فیلترهای
FIR

اثر کوانتیزاسیون
ضرایب

ساختارهای
Lattice

ساختار فیلترهای IIR

(د) ساختارهای موازی Parallel

در ساختار موازی، به جای استفاده از رابطه مستقیم، صورت و مخرج $H(z)$ به صورت مجموع کسره‌های درجه اول نوشته می‌شود:

$$H(z) = \frac{A(z)}{B(z)} = \sum_{k=0}^{N_p} c_k z^{-k} + \sum_{k=1}^{N_p} \frac{A'_k}{1 - d_k z^{-1}}$$

❖ که d_k ها به ترتیب قطب‌های غیر صفر تابع $H(z)$ هستند که در حالت کلی می‌توانند مختلط باشند.

❖ با توجه به اینکه ضرایب چندجمله‌ای صورت و مخرج، حقیقی هستند پس اگر c_k (d_k) یک صفر (قطب) مختلط باشد، آنگاه قطعاً c_k^* (d_k^*) هم صفر (قطب) تابع $H(z)$ است.

❖ بنابراین به منظور کاهش محاسبات و حذف ضرب و جمع مختلط می‌توان عبارت بالا را به صورت زیر نوشت:

$$H(z) = \sum_{k=0}^{N_p} c_k z^{-k} + \sum_{k=1}^{N_1} \frac{A_k}{1 - d_k z^{-1}} + \sum_{k=1}^{N_2} \frac{B_k (1 - e_k z^{-1})}{(1 - d_k z^{-1})(1 - d_k^* z^{-1})}$$

که $M \geq N$ و $N = N_1 + 2N_2$ است و $N_p = M - N$ می‌باشد.

بلوک دیاگرام
معادلات تفاضلی

ساختار فیلترهای
IIR

ساختار فیلترهای
FIR

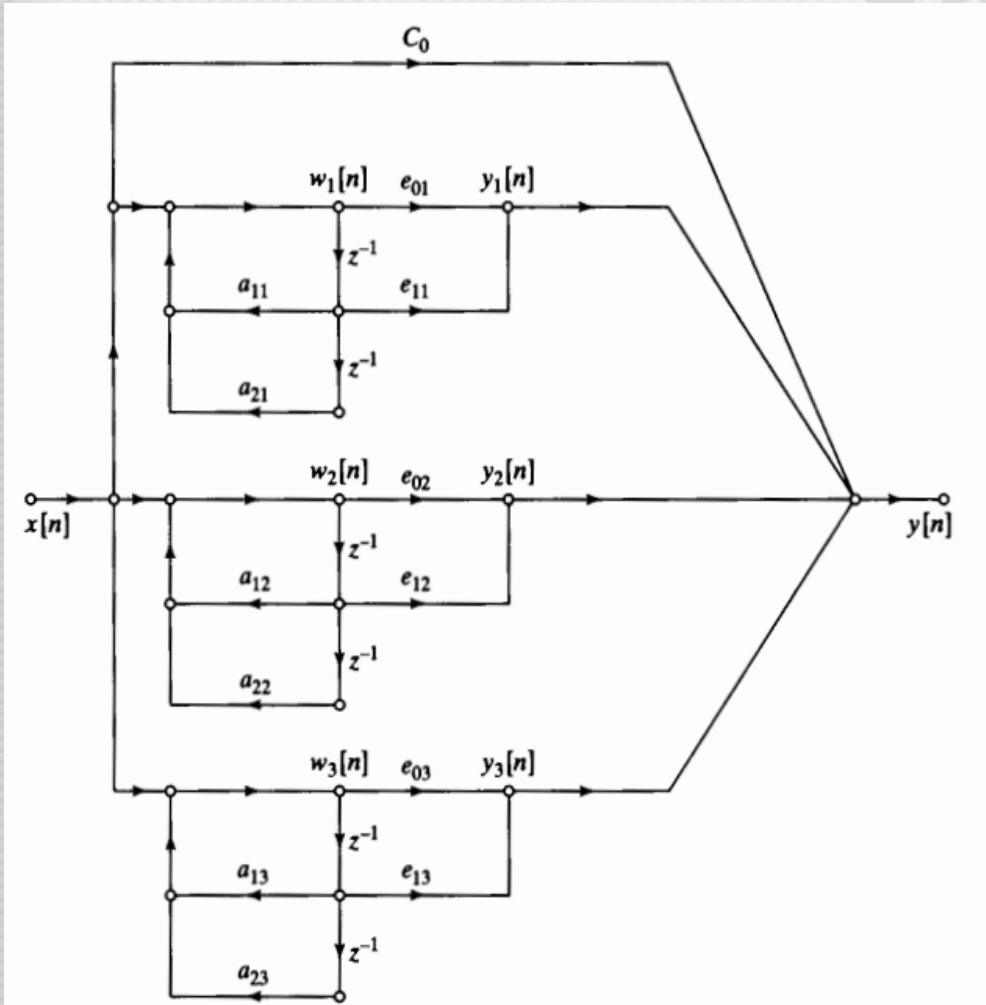
اثر کوانتیزاسیون
ضرایب

ساختارهای
Lattice

ساختار فیلترهای IIR

در ادامه می‌توان عبارتهای درجه ۱ و ۲ را به فرم کلی زیر نوشت:

$$H(z) = \sum_{k=0}^{N_p} C_k z^{-k} + \sum_{k=1}^{N_1+N_2} \frac{e_{0,k} + e_{1,k} z^{-1}}{1 - a_{1,k} z^{-1} - a_{2,k} z^{-2}}$$



بلوک دیاگرام
معادلات تفاضلی

ساختار فیلترهای
IIR

ساختار فیلترهای
FIR

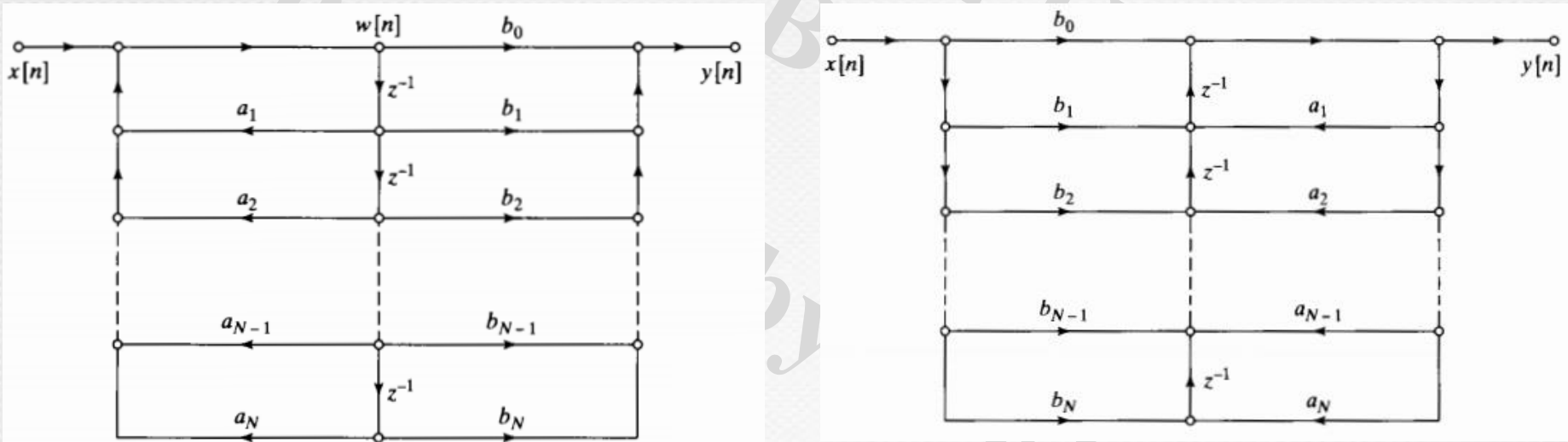
اثر کوانتیزاسیون
ضرایب

ساختارهای
Lattice

ساختار فیلترهای IIR

ساختارهای جابه‌جا شده

در تمام چهار ساختار بالا، می‌توان جهت تمام فلش‌ها و جای ورودی و خروجی را عوض کرد و ساختارهای معادلی بدست آورد..



مزیت: در ساختار Direct Form II ابتدا قطب‌ها و سپس صفرها پیاده‌سازی می‌شود ولی در ساختار جابه‌جا شده ابتدا صفرها و سپس قطب‌ها. این ویژگی منجر به کاهش خطا در محاسبات دیجیتالی دقت محدود می‌شود (اثر کوانتیزاسیون در روند کردن قطب‌ها)

بلوک دیاگرام
معادلات تفاضلی

ساختار فیلترهای
IIR

ساختار فیلترهای
FIR

اثر کوانتیزاسیون
ضرایب

ساختارهای
Lattice

ساختار فیلترهای FIR

اگر $h[n]$ یک فیلتر LTI باشد، از کانولوشن می توان گفت:

$$y[n] = \sum_{k=-\infty}^{\infty} h[k]x[n-k]$$

چون FIR و سببی باشد داریم:

$$h[n] = b_n \quad 0 \leq n \leq M \quad \rightarrow \quad y[n] = \sum_{k=0}^M b_k x[n-k]$$

یعنی، فیدبکی از خروجی به ورودی وجود ندارد.

از تبدیل Z نیز می توان گفت:

$$H(z) = \frac{Y(z)}{X(z)} = \sum_{k=0}^M b_k z^{-k} = b_0 + b_1 z^{-1} + \dots + b_M z^{-M} \quad (1)$$

نکته مهم: این فیلترها فقط صفر دارند و تمامی قطب های آنها در $z = 0$ است. از این رو، ساختار مستقیم ۱ و ۲

برای این سیستم ها یکسان است.

بلوک دیاگرام
معادلات تفاضلی

ساختار فیلترهای
IIR

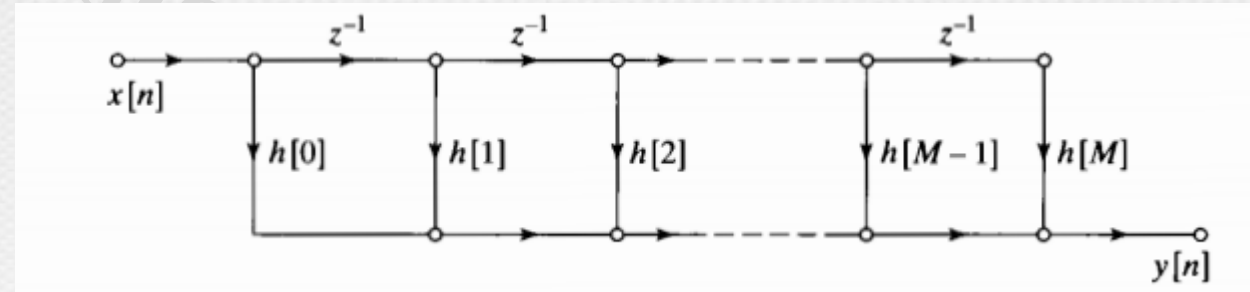
ساختار فیلترهای
FIR

اثر کوانتیزاسیون
ضرایب

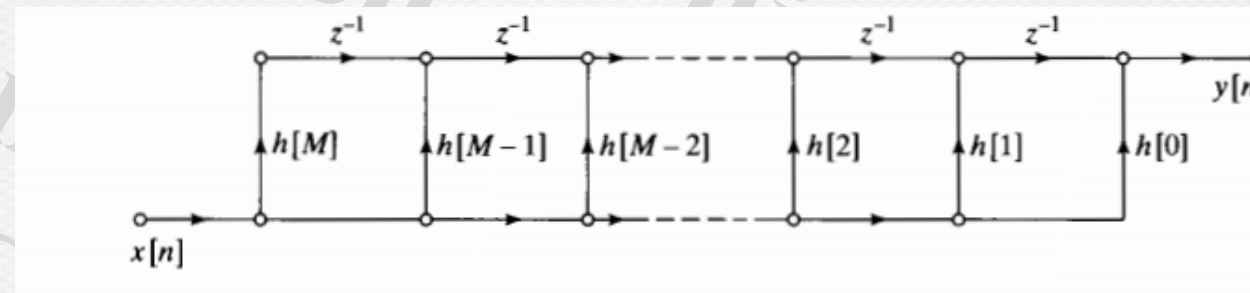
ساختارهای
Lattice

ساختار فیلترهای FIR

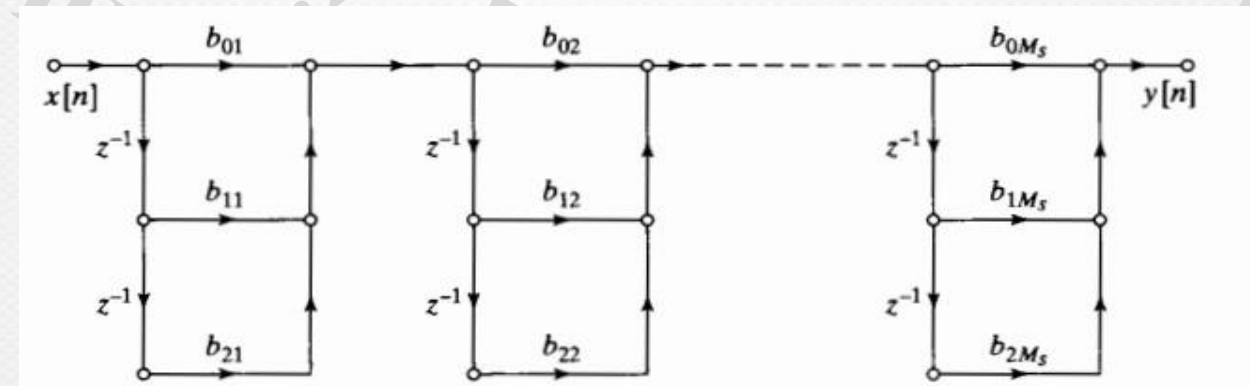
Direct Form



Transposed Form



Cascade Form



بلوک دیاگرام
معادلات تفاضلی

ساختار فیلترهای
IIR

ساختار فیلترهای
FIR

اثر کوانتیزاسیون
ضرایب

ساختارهای
Lattice

ساختار فیلترهای FIR

ساختار سیستم هایی با فاز خطی:

در انتهای فصل ۵ دیدیم که چهار نوع فیلتر FIR با فاز خطی داریم که هر چهار نوع، ویژگی تقارنی داشتند. در این فصل میخواهیم از ویژگی تقارن استفاده کنیم و ساختارهایی بهینه طراحی کنیم.

نوع اول (type I):

دیدیم که در این ساختار M زوج و تقارن زوج حول $M/2$ داشتیم. یعنی:

$$h[n] = h[M - n] \quad n = 0, 1, 2, \dots, M$$

در این صورت با جایگذاری در رابطه (۱) اسلاید ۱۲ داریم:

$$H(z) = h[0] + h[1]z^{-1} + \dots + h[M-1]z^{-(M-1)} + h[M]z^{-M}$$

$$= h[0](1 + z^{-M}) + h[1](z^{-1} + z^{-(M-1)}) + \dots + h\left[\frac{M}{2}\right]z^{-\frac{M}{2}}$$

یعنی می توان تعداد ضرب شونده ها را تقریباً نصف کرد.

بلوک دیاگرام
معادلات تفاضلی

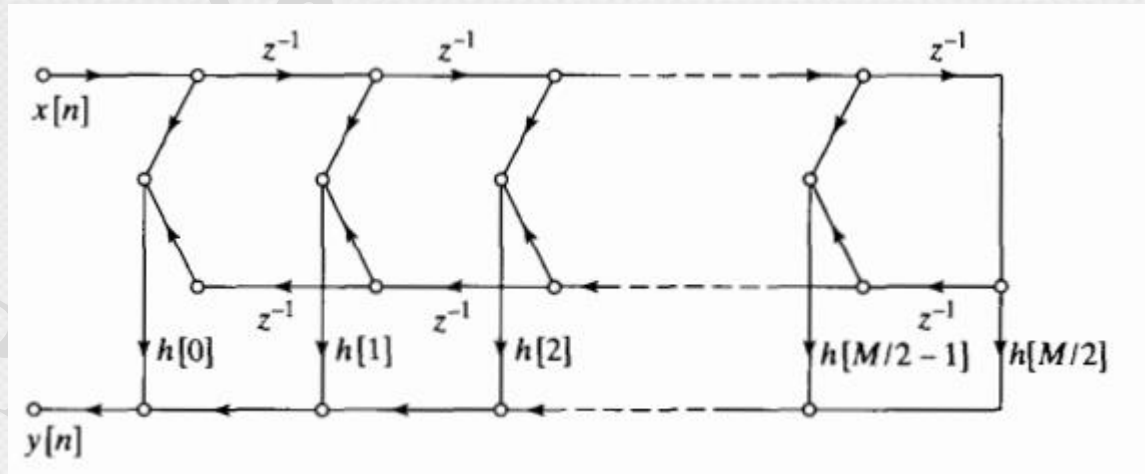
ساختار فیلترهای
IIR

ساختار فیلترهای
FIR

اثر کوانتیزاسیون
ضرایب

ساختارهای
Lattice

ساختار فیلترهای FIR



نوع سوم (type III):

دیدیم که در این ساختار M زوج و تقارن فرد حول $M/2$ داشتیم. یعنی:

$$h[n] = -h[M - n] \quad n = 0, 1, 2, \dots, M$$

در این صورت با جایگذاری در رابطه (۱) اسلاید ۱۲ داریم:

$$= h[0](1 - z^{-M}) + h[1](z^{-1} - z^{-(M-1)}) + \dots + h\left[\frac{M}{2}\right]z^{-\frac{M}{2}}$$

یعنی می‌توان تعداد ضرب شونده‌ها را تقریباً نصف کرد. (ساختار مشابه بالاست فقط از تفریق کننده استفاده میشود)

بلوک دیاگرام
معادلات تفاضلی

ساختار فیلترهای
IIR

ساختار فیلترهای
FIR

اثر کوانتیزاسیون
ضرایب

ساختارهای
Lattice

ساختار فیلترهای FIR

نوع دوم (type II) (و مشابهها type IV):

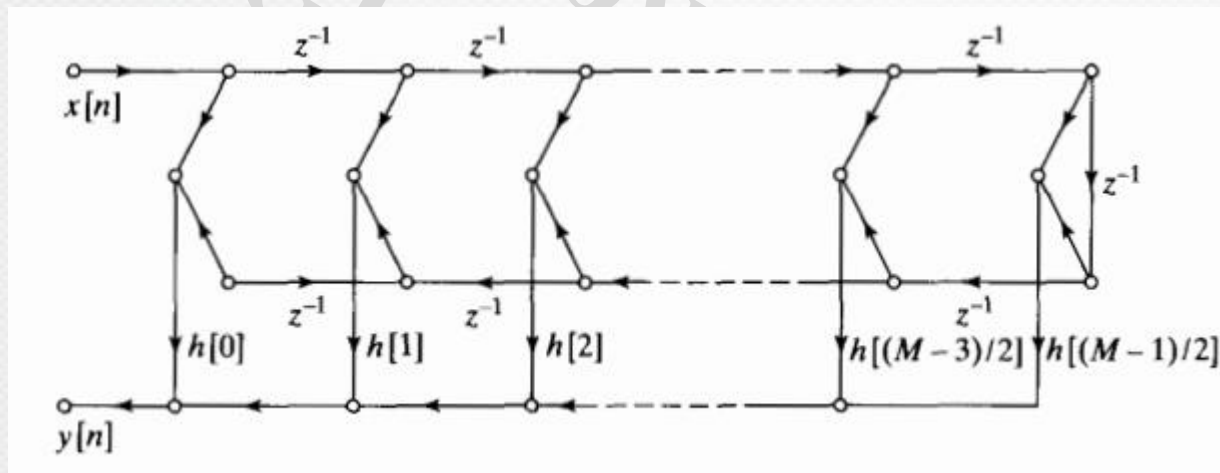
دیدیم که در این ساختار M فرد و تقارن زوج حول $M/2$ داشتیم. یعنی:

$$h[n] = h[M - n] \quad n = 0, 1, 2, \dots, M$$

در این صورت با جایگذاری در رابطه (۱) اسلاید ۱۲ داریم:

$$= h[0](1 + z^{-M}) + h[1](z^{-1} + z^{-(M-1)}) + \dots + h\left[\frac{M-1}{2}\right](z^{-\frac{M-1}{2}} + z^{-\frac{M+1}{2}})$$

یعنی می توان تعداد ضرب شونده ها را تقریباً نصف کرد.



بلوک دیاگرام
معادلات تفاضلی

ساختار فیلترهای
IIR

ساختار فیلترهای
FIR

اثر کوانتیزاسیون
ضرایب

ساختارهای
Lattice

اثر کوانتیزاسیون ضرایب

فرض کنید یک سیستم با معادله تفاضلی خطی و ضرایب ثابت به صورت زیر طراحی شده است:

$$H(z) = \frac{A(z)}{B(z)} = \frac{\sum_{k=0}^M b_k z^{-k}}{\sum_{k=0}^N a_k z^{-k}}$$

هنگام پیاده‌سازی این سیستم در یک پردازشگر (مثلا یک کامپیوتر)، ضرایب b_k و a_k کوانتیزه می‌شوند و به صورت \hat{b}_k و \hat{a}_k ذخیره می‌شوند. یعنی

$$\hat{H}(z) = \frac{\hat{A}(z)}{\hat{B}(z)} = \frac{\sum_{k=0}^M \hat{b}_k z^{-k}}{1 - \sum_{k=1}^N \hat{a}_k z^{-k}}, \quad \hat{a}_k = a_k + \Delta a_k, \quad \hat{b}_k = b_k + \Delta b_k$$

سوال: سوالی که مطرح می‌شود که این تغییرات در ضرایب صورت یا مخرج چه تاثیری بر روی پاسخ سیستم می‌گذارد؟

پاسخ: ما اثر کوانتیزاسیون a_k ها (مخرج) را بررسی می‌کنیم. ابتدا مخرج را به صورت حاصلضرب عوامل درجه اول می‌نویسیم:

$$B(z) = 1 - \sum_{k=1}^N a_k z^{-k} = \prod_{n=1}^N (1 - z_n z^{-1}) \quad (1)$$

بلوک دیاگرام
معادلات تفاضلی

ساختار فیلترهای
IIR

ساختار فیلترهای
FIR

اثر کوانتیزاسیون
ضرایب

ساختارهای
Lattice

اثرات اعداد دقت محدود

- ❖ دیدیم که یک فیلتر را می توان به روش های مختلفی پیاده سازی کرد.
- ❖ پیاده سازی این سیستم نیاز به محاسبات با دقت محدود دارد و نکته جالب اینکه رفتار هر یک از روش های پیاده سازی در این شرایط محاسباتی می تواند متفاوت باشد.

نمایش عددی

- ❖ در بیشتر سیستم های دیجیتالی، نمایش مکمل ۲ برای نمایش باینری اعداد حقیقی استفاده می شود.
- ❖ یک عدد حقیقی می توان با دقت **بینهایت** به صورت مکمل ۲ نمایش داده شود.

$$x = X_m(-b_0 + \sum_{i=1}^{\infty} b_i 2^{-i})$$

X_m یک مقیاس دلخواه

b_i ها بیت نمایشی به صورت ۰ یا ۱

b_0 علامت بیتی که $b = 0$ برای اعداد $0 \leq x \leq X_m$ و $b_0 = 1$ برای اعداد $-X_m \leq x \leq 0$.

بلوک دیاگرام
معادلات تفاضلی

ساختار فیلترهای
IIR

ساختار فیلترهای
FIR

اثر کوانتیزاسیون
ضرایب

ساختارهای
Lattice

اثرات اعداد دقت محدود

اگر تنها $B + 1$ بیت برای نمایش در اختیار باشد، رابطه بالا به صورت زیر تغییر می‌کند:

$$\hat{x} = Q_B[x] = X_m \left(-b_0 + \sum_{i=1}^B b_i 2^{-i} \right) = X_m \hat{x}_B$$

و \hat{x}_B برابر است با:

$$\hat{x}_B = b_0 \diamond b_1 b_2 b_3 \dots b_B$$

که \diamond ممیز باینری نامیده می‌شود.

تعریف ۱: دقت این نمایش (کوچکترین اختلاف بین دو عدد) به صورت زیر تعریف می‌شود:

$$\Delta = X_m 2^{-B}$$

تعریف ۲: خطای کوانتیزاسیون به صورت زیر تعریف می‌شود:

$$e = Q_B[x] - x$$

بلوک دیاگرام
معادلات تفاضلی

ساختار فیلترهای
IIR

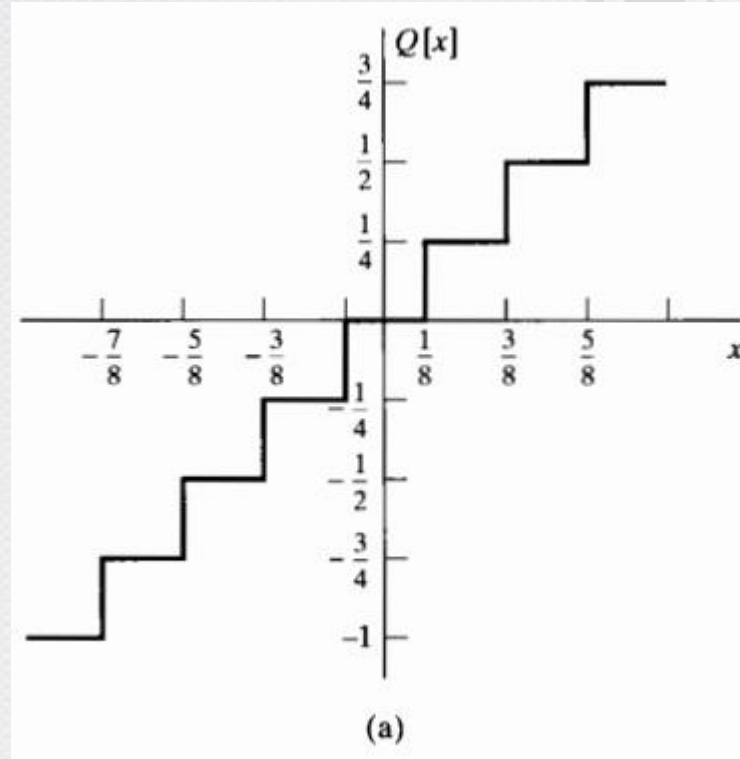
ساختار فیلترهای
FIR

اثر کوانتیزاسیون
ضرایب

ساختارهای
Lattice

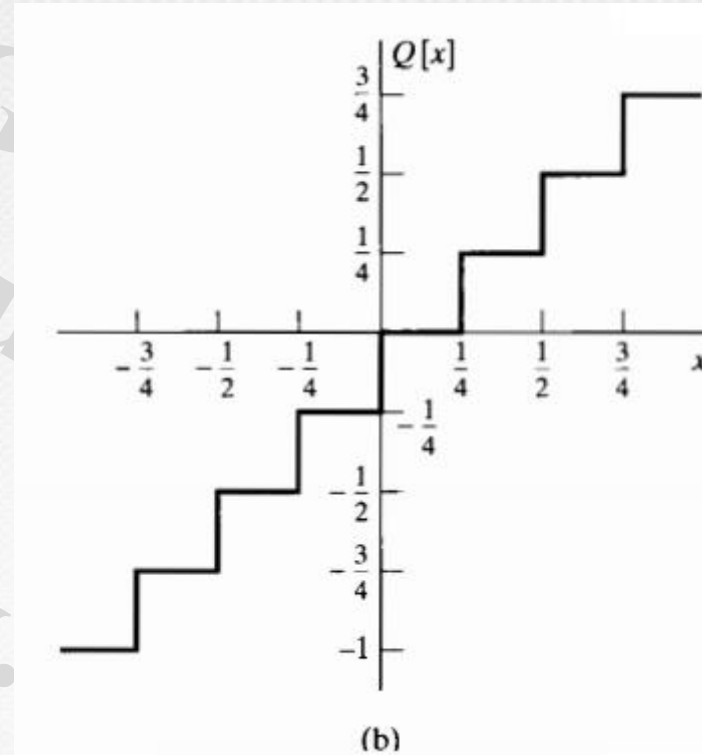
اثرات اعداد دقت محدود

rounding (B=2)



$$-\frac{\Delta}{2} \leq e \leq \frac{\Delta}{2}$$

Truncation (B=2)



$$-\Delta \leq e \leq 0$$

بلوک دیاگرام
معادلات تفاضلی

ساختار فیلترهای
IIR

ساختار فیلترهای
FIR

اثر کوانتیزاسیون
ضرایب

ساختارهای
Lattice

اثر کوانتیزاسیون ضرایب

هدف این است که اثر کوانتیزاسیون a_k ها بر روی یکی از قطب‌ها مثلاً قطب z_i بررسی شود.

$$\Delta z_i = \frac{\partial z_i}{\partial a_1} \Delta a_1 + \frac{\partial z_i}{\partial a_2} \Delta a_2 + \dots + \frac{\partial z_i}{\partial a_N} \Delta a_N = \sum_{k=1}^N \frac{\partial z_i}{\partial a_k} \Delta a_k$$

در رابطه (۱)، مشتق $\hat{B}(z)$ نسبت به a_k در نقطه $z = z_i$ را محاسبه می‌کنیم:

$$\frac{\partial \hat{B}(z)}{\partial a_k} = -z^{-k} \rightarrow \left. \frac{\partial \hat{B}(z)}{\partial a_k} \right|_{z=z_i} = -z_i^{-k} \quad (2)$$

یک بار دیگر عبارت بالا را با استفاده از قاعده زنجیره‌ای محاسبه می‌کنیم:

$$\frac{\partial \hat{B}(z)}{\partial a_k} = \sum_{m=1}^N \frac{\partial \hat{B}(z)}{\partial z_m} \frac{\partial z_m}{\partial a_k} = \sum_{m=1}^N \left(-z^{-1} \prod_{n=1, n \neq m}^N (1 - z_n z^{-1}) \right) \frac{\partial z_m}{\partial a_k}$$

چون مشتق در $z = z_i$ مدنظر است پس تمام جملات سیگما بر روی m صفر است به جز حالت $m = i$ یعنی

$$\left. \frac{\partial \hat{B}(z)}{\partial a_k} \right|_{z=z_i} = -z_i^{-1} \prod_{n=1, n \neq i}^N (1 - z_n z_i^{-1}) \left. \frac{\partial z_i}{\partial a_k} \right|_{z=z_i} \quad (3)$$

بلوک دیاگرام
معادلات تفاضلی

ساختار فیلترهای
IIR

ساختار فیلترهای
FIR

اثر کوانتیزاسیون
ضرایب

ساختارهای
Lattice

اثر کوانتیزاسیون ضرایب

از (۲) و (۳) داریم:

$$-z_i^{-1} \prod_{n=1, n \neq i}^N (1 - z_n z_i^{-1}) \frac{\partial z_i}{\partial a_k} \Big|_{z=z_i} = -z_i^k$$

پس

$$\frac{\partial z_i}{\partial a_k} \Big|_{z=z_i} = \frac{z_i^k}{z_i^{-1} \prod_{n=1, n \neq i}^N (1 - z_n z_i^{-1})}$$

$$\frac{\partial z_m}{\partial a_k} \Big|_{z=z_i} = \frac{z_i^{N-k}}{\prod_{n=1, n \neq i}^N (z_i - z_n)}$$

نتیجه: اگر فاصله قطب‌ها کم باشد آنگاه $(z_i - z_n)$ ها، عبارت بسیار کوچکی می‌شوند و بنابراین $\frac{\partial z_i}{\partial a_k} \Big|_{z=z_i}$ بزرگ می‌شود. بنابراین تغییرات قطب z_i ها $(i = 1, 2, \dots, N)$ نسبت به کوانتیزاسیون فقط یک ضریب a_k خیلی بزرگ می‌شود.

بلوک دیاگرام
معادلات تفاضلی

ساختار فیلترهای
IIR

ساختار فیلترهای
FIR

اثر کوانتیزاسیون
ضرایب

ساختارهای
Lattice

اثر کوانتیزاسیون ضرایب

مثال ۶-۱: یک فیلتر IIR با مشخصات زیر مد نظر است :

$$\begin{aligned} 0.99 \leq |H(e^{j\omega})| &\leq 1.01, & 0.3\pi \leq \omega \leq 0.4\pi \\ |H(e^{j\omega})| &\leq 0.01, & \omega \leq 0.29\pi \\ |H(e^{j\omega})| &\leq 0.01, & \omega \geq 0.41\pi \end{aligned}$$

طراحی فیلتری با این مشخصات (نحوه طراحی در فصل بعد گفته می‌شود)، منجر به فیلتری از مرتبه ۱۲ می‌شود که پیاده‌سازی این فیلتر با روش سری (cascade) به صورت زیر می‌باشد:

ضرایب با کوانتیزاسیون ۱۶ بیتی

TABLE 6.2 SIXTEEN-BIT QUANTIZED CASCADE-FORM COEFFICIENTS FOR A 12TH-ORDER ELLIPTIC FILTER

| k | a_{1k} | a_{2k} | b_{0k} | b_{1k} | b_{2k} |
|-----|------------------------|-------------------------|------------------------|-------------------------|------------------------|
| 1 | 24196×2^{-15} | -27880×2^{-15} | 17805×2^{-17} | 3443×2^{-17} | 17805×2^{-17} |
| 2 | 31470×2^{-15} | -28180×2^{-15} | 18278×2^{-16} | -29131×2^{-16} | 18278×2^{-16} |
| 3 | 20626×2^{-15} | -30522×2^{-15} | 17556×2^{-15} | -8167×2^{-15} | 17556×2^{-15} |
| 4 | 18292×2^{-14} | -30816×2^{-15} | 22854×2^{-15} | -29214×2^{-15} | 22854×2^{-15} |
| 5 | 19831×2^{-15} | -32234×2^{-15} | 25333×2^{-15} | -13957×2^{-15} | 25333×2^{-15} |
| 6 | 19220×2^{-14} | -32315×2^{-15} | 15039×2^{-14} | -18387×2^{-14} | 15039×2^{-14} |

ضرایب فیلتر بدون کوانتیزاسیون

TABLE 6.1 UNQUANTIZED CASCADE-FORM COEFFICIENTS FOR A 12TH-ORDER ELLIPTIC FILTER

| k | a_{1k} | a_{2k} | b_{0k} | b_{1k} | b_{2k} |
|-----|----------|-----------|----------|-----------|----------|
| 1 | 0.738409 | -0.850835 | 0.135843 | 0.026265 | 0.135843 |
| 2 | 0.960374 | -0.860000 | 0.278901 | -0.444500 | 0.278901 |
| 3 | 0.629449 | -0.931460 | 0.535773 | -0.249249 | 0.535773 |
| 4 | 1.116458 | -0.940429 | 0.697447 | -0.891543 | 0.697447 |
| 5 | 0.605182 | -0.983693 | 0.773093 | -0.425920 | 0.773093 |
| 6 | 1.173078 | -0.986166 | 0.917937 | -1.122226 | 0.917937 |

بلوک دیاگرام
معادلات تفاضلی

ساختار فیلترهای
IIR

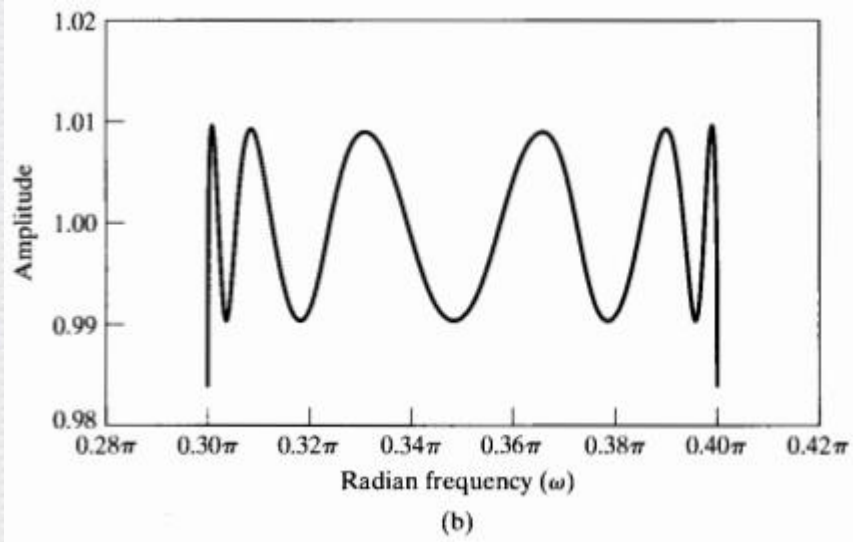
ساختار فیلترهای
FIR

اثر کوانتیزاسیون
ضرایب

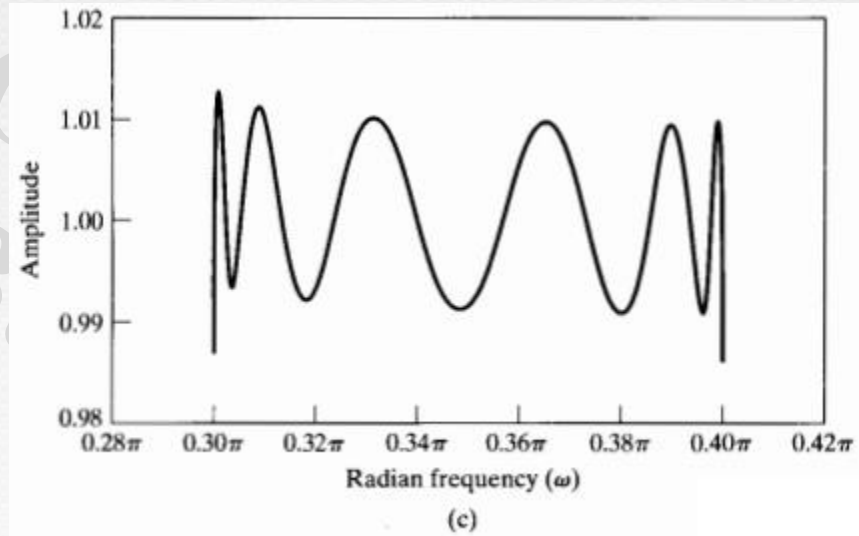
ساختارهای
Lattice

اثر کوانتیزاسیون ضرایب

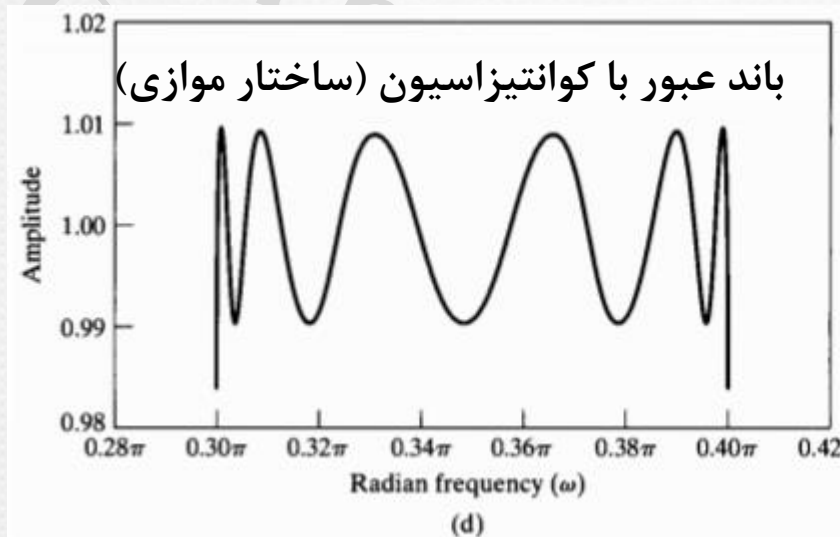
باند عبور بدون کوانتیزاسیون



باند عبور با کوانتیزاسیون (ساختار سری)



باند عبور با کوانتیزاسیون (ساختار موازی)



بلوک دیاگرام
معادلات تفاضلی

ساختار فیلترهای
IIR

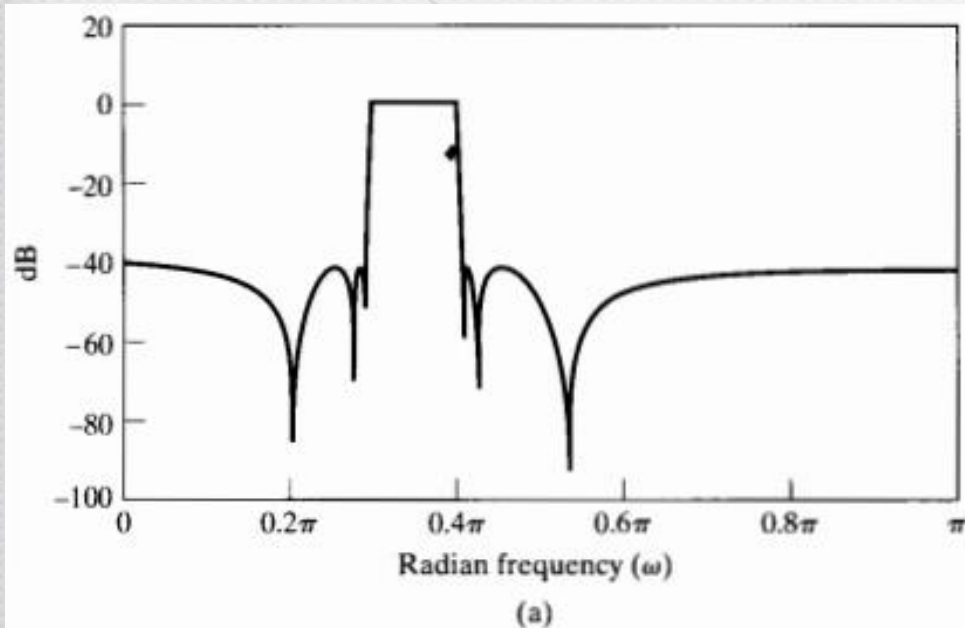
ساختار فیلترهای
FIR

اثر کوانتیزاسیون
ضرایب

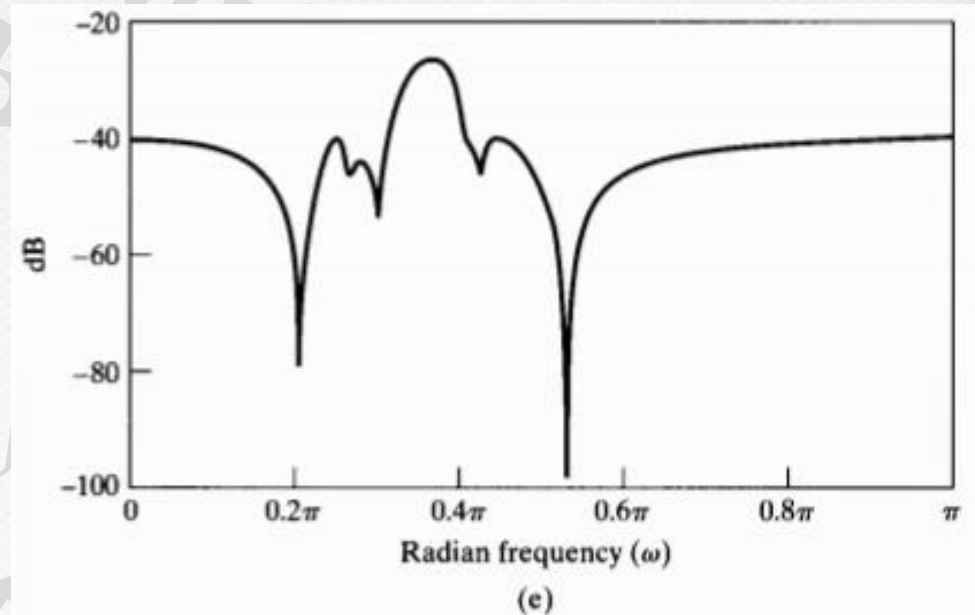
ساختارهای
Lattice

اثر کوانتیزاسیون ضرایب

لگاریتم دامنه بدون کوانتیزاسیون



لگاریتم دامنه با پیاده سازی Direct Form و
کوانتیزاسیون ۱۶ بیتی



بلوک دیاگرام
معادلات تفاضلی

ساختار فیلترهای
IIR

ساختار فیلترهای
FIR

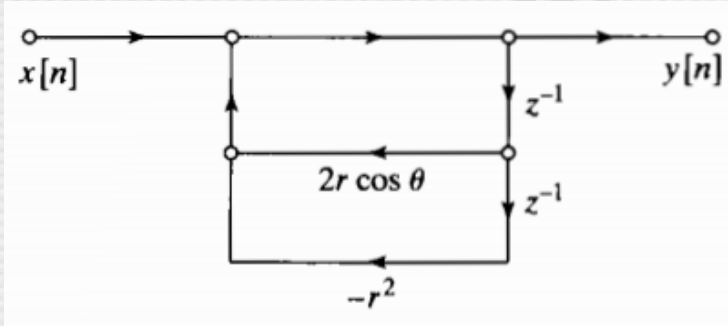
اثر کوانتیزاسیون
ضرایب

ساختارهای
Lattice

اثر کوانتیزاسیون ضرایب

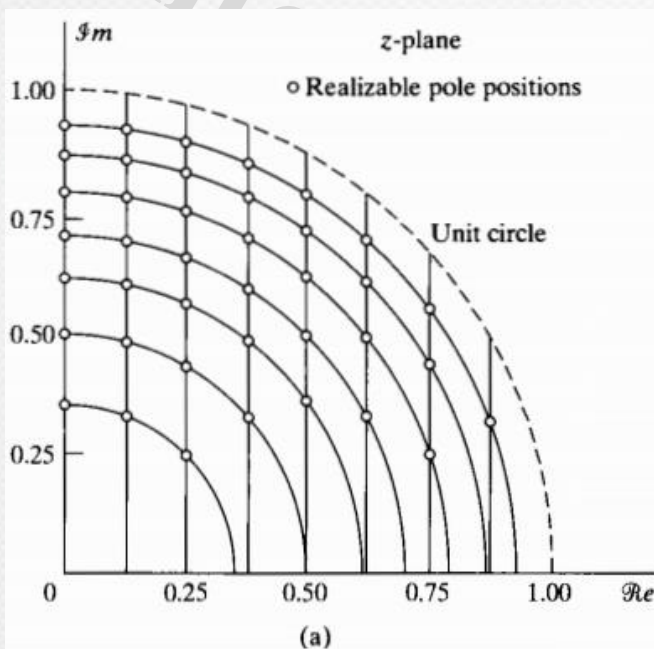
مثال ۶-۲: پیاده‌سازی یک فیلتر مرتبه دوم IIR.

یک فیلتر مرتبه دوم با دو قطب $re^{j\theta}$ و $re^{-j\theta}$ در نظر بگیرید. این فیلتر به صورت روبرو پیاده‌سازی می‌شود:

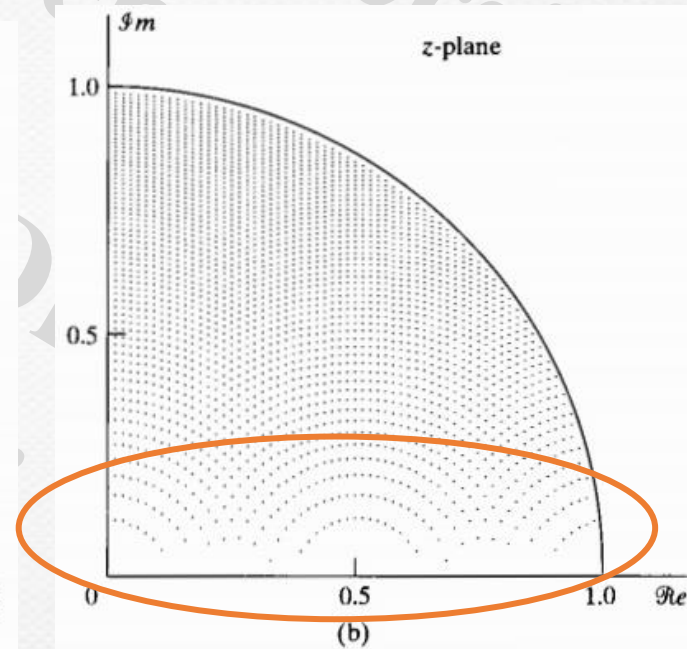


مکان هندسی ضرایب کوانتیزه شده $-r^2$ و $2r \cos \theta$ به صورت زیر می‌باشد:

مکان ضرایب با کوانتیزاسیون ۴ بیتی



مکان ضرایب با کوانتیزاسیون ۷ بیتی



$$r_i^2 = \left\{0, \frac{1}{8}, \frac{2}{8}, \frac{3}{8}, \dots, \frac{7}{8}\right\}$$

$$r_i = \{0, 0.35, 0.5, 0.61, \dots\}$$

بلوک دیاگرام
معادلات تفاضلی

ساختار فیلترهای
IIR

ساختار فیلترهای
FIR

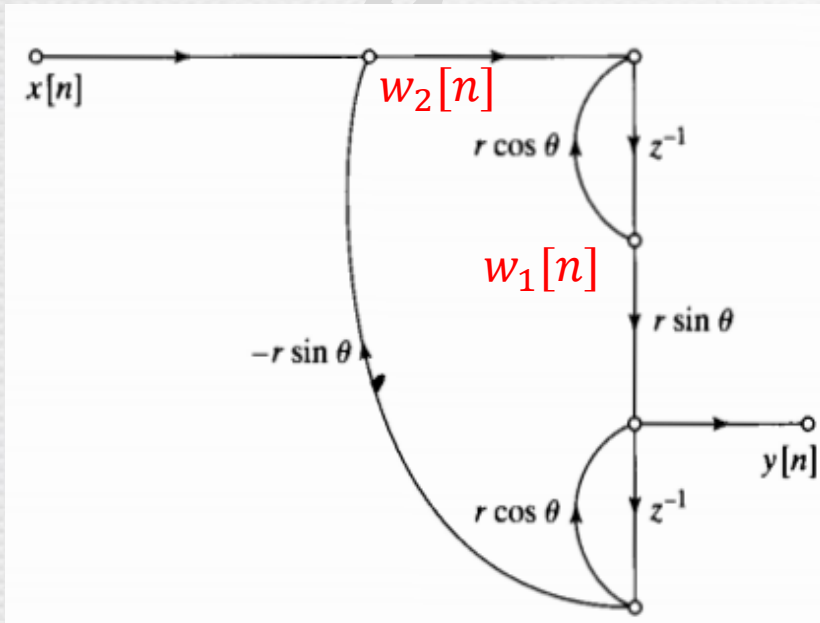
اثر کوانتیزاسیون
ضرایب

ساختارهای
Lattice

اثر کوانتیزاسیون ضرایب

نکته: در پیاده‌سازی به فرم مستقیم، مکان کوانتیزاسیون در نزدیک محور حقیقی تنک و در نزدیک دایره واحد فشرده است. یعنی خطای کوانتیزاسیون برای قطب‌هایی با $\theta = 0$ و $\theta = \pi$ به مراتب بزرگتر است.

راه حل: می‌توان از یک ساختار جایگزین به صورت زیر استفاده کرد:



$$w_2[n] = x[n] - r \sin \theta y[n-1] \quad (1)$$

$$w_1[n] = w_2[n-1] - r \cos \theta w_1[n-1] \quad (2)$$

$$y[n] = r \sin \theta w_1[n] + r \cos \theta y[n-1] \quad (3)$$

تمرین: با حل سه معادله بالا رابطه $y[n]$ با $x[n]$ را بیابید و نشان دهید که قطب‌ها به صورت $z_{1,2} = re^{\pm j\theta}$ هستند.

بلوک دیاگرام
معادلات تفاضلی

ساختار فیلترهای
IIR

ساختار فیلترهای
FIR

اثر کوانتیزاسیون
ضرایب

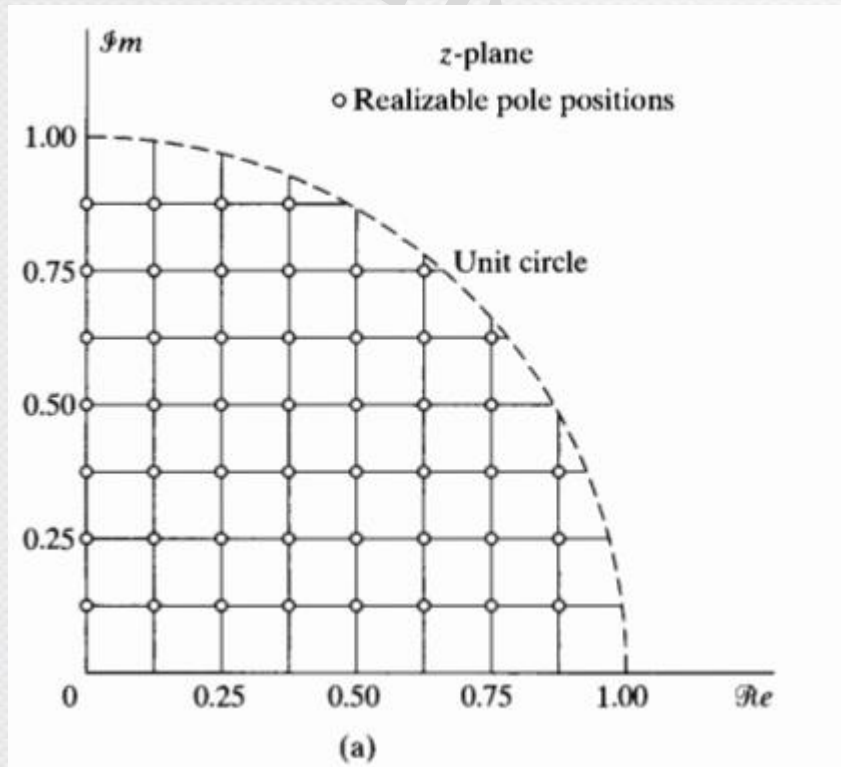
ساختارهای
Lattice

اثر کوانتیزاسیون ضرایب

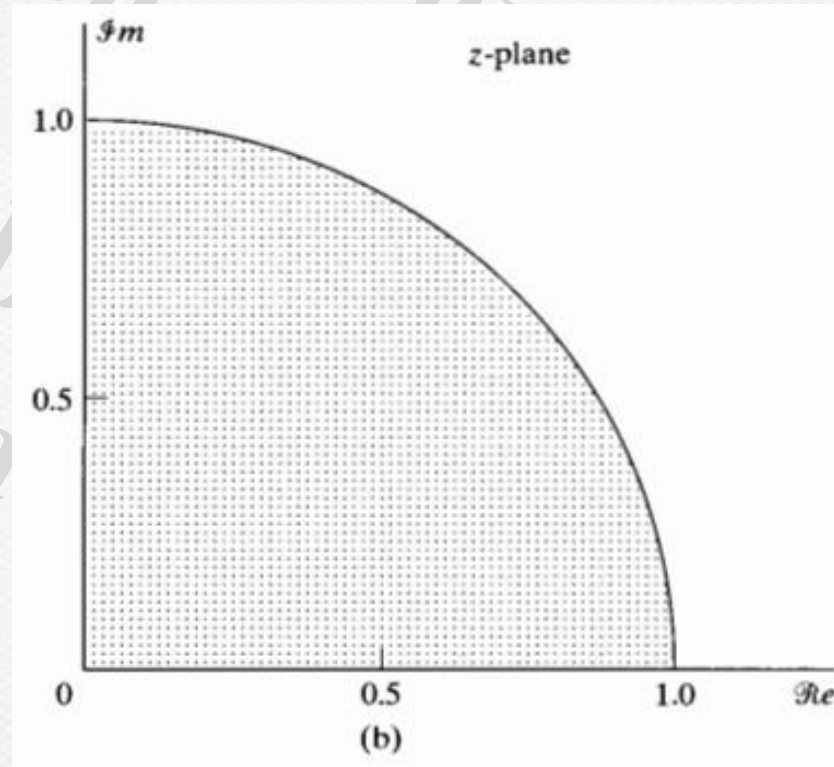
در ساختار بالا ضرایب به صورت $r \cos \theta$ و $r \sin \theta$ هستند که این دو کمیت معادل با محورهای افقی و عمودی هستند.

مکان هندسی ضرایب کوانتیزه شده به صورت $r \cos \theta$ و $r \sin \theta$ با فاصله یکسان می باشد:

مکان ضرایب با کوانتیزاسیون ۴ بیتی



مکان ضرایب با کوانتیزاسیون ۷ بیتی



بلوک دیاگرام
معادلات تفاضلی

ساختار فیلترهای
IIR

ساختار فیلترهای
FIR

اثر کوانتیزاسیون
ضرایب

ساختارهای
Lattice

اثر کوانتیزاسیون ضرایب

کوانتیزاسیون در فیلترهای FIR:

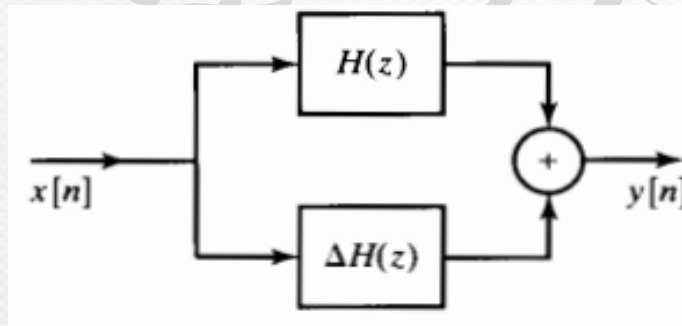
- ❖ بر خلاف فیلترهای IIR مرتبه بالاتر که در پیاده‌سازی فرم مستقیم مناسب نبودند، فیلترهای FIR عموماً در این دو ساختار Direct Form I و Direct Form II پیاده‌سازی می‌شوند.
- ❖ یک فیلتر سببی FIR به صورت زیر تعریف می‌شود:

$$H(z) = \sum_{n=0}^N h[n]z^{-n}$$

پس از کوانتیزه کردن ضرایب $h[n]$ به صورت $\hat{h}[n] = h[n] + \Delta h[n]$ داریم:

$$\hat{H}(z) = \sum_{n=0}^N (h[n] + \Delta h[n])z^{-n} = \sum_{n=0}^N h[n]z^{-n} + \sum_{n=0}^N \Delta h[n]z^{-n}$$

$$\hat{H}(z) = H(z) + \Delta H(z)$$



بلوک دیاگرام
معادلات تفاضلی

ساختار فیلترهای
IIR

ساختار فیلترهای
FIR

اثر کوانتیزاسیون
ضرایب

ساختارهای
Lattice

اثر کوانتیزاسیون ضرایب

- ❖ فیلترهای FIR فقط صفر دارند و همه قطبها در مبدا هستند. اگر فاصله صفرها از هم کم باشد، کوانتیزاسیون به شدت بر روی عملکرد فیلتر تاثیر می گذارد.
- ❖ اگر فیلتر با فازخطی باشد، آنگاه فاصله صفرها، معمولا زیاد است و بنابراین ساختارهای Direct Forms مفید هستند.

مثال ۶-۳: یک فیلتر FIR با مشخصات زیر مد نظر است :

$$0.99 \leq |H(e^{j\omega})| \leq 1.01, \quad 0 \leq |\omega| \leq 0.4\pi$$

$$|H(e^{j\omega})| \leq 0.001, \quad 0.6\pi \leq |\omega| \leq \pi$$

TABLE 6.3 UNQUANTIZED AND QUANTIZED COEFFICIENTS FOR AN OPTIMUM FIR LOWPASS FILTER ($M = 27$)

| Coefficient | Unquantized | 16 bits | 14 bits | 13 bits | 8 bits |
|-----------------|----------------------------|------------------------|-----------------------|-----------------------|---------------------|
| $h[0] = h[27]$ | 1.359657×10^{-3} | 45×2^{-15} | 11×2^{-13} | 6×2^{-12} | 0×2^{-7} |
| $h[1] = h[26]$ | -1.616993×10^{-3} | -53×2^{-15} | -13×2^{-13} | -7×2^{-12} | 0×2^{-7} |
| $h[2] = h[25]$ | -7.738032×10^{-3} | -254×2^{-15} | -63×2^{-13} | -32×2^{-12} | -1×2^{-7} |
| $h[3] = h[24]$ | -2.686841×10^{-3} | -88×2^{-15} | -22×2^{-13} | -11×2^{-12} | 0×2^{-7} |
| $h[4] = h[23]$ | 1.255246×10^{-2} | 411×2^{-15} | 103×2^{-13} | 51×2^{-12} | 2×2^{-7} |
| $h[5] = h[22]$ | 6.591530×10^{-3} | 216×2^{-15} | 54×2^{-13} | 27×2^{-12} | 1×2^{-7} |
| $h[6] = h[21]$ | -2.217952×10^{-2} | -727×2^{-15} | -182×2^{-13} | -91×2^{-12} | -3×2^{-7} |
| $h[7] = h[20]$ | -1.524663×10^{-2} | -500×2^{-15} | -125×2^{-13} | -62×2^{-12} | -2×2^{-7} |
| $h[8] = h[19]$ | 3.720668×10^{-2} | 1219×2^{-15} | 305×2^{-13} | 152×2^{-12} | 5×2^{-7} |
| $h[9] = h[18]$ | 3.233332×10^{-2} | 1059×2^{-15} | 265×2^{-13} | 132×2^{-12} | 4×2^{-7} |
| $h[10] = h[17]$ | -6.537057×10^{-2} | -2142×2^{-15} | -536×2^{-13} | -268×2^{-12} | -8×2^{-7} |
| $h[11] = h[16]$ | -7.528754×10^{-2} | -2467×2^{-15} | -617×2^{-13} | -308×2^{-12} | -10×2^{-7} |
| $h[12] = h[15]$ | 1.560970×10^{-1} | 5115×2^{-15} | 1279×2^{-13} | 639×2^{-12} | 20×2^{-7} |
| $h[13] = h[14]$ | 4.394094×10^{-1} | 14399×2^{-15} | 3600×2^{-13} | 1800×2^{-12} | 56×2^{-7} |

بلوک دیاگرام
معادلات تفاضلی

ساختار فیلترهای
IIR

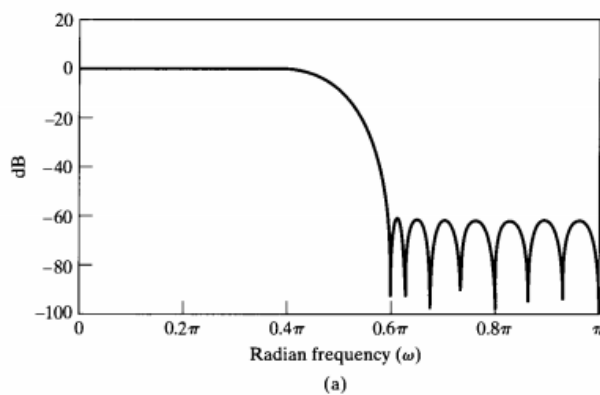
ساختار فیلترهای
FIR

اثر کوانتیزاسیون
ضرایب

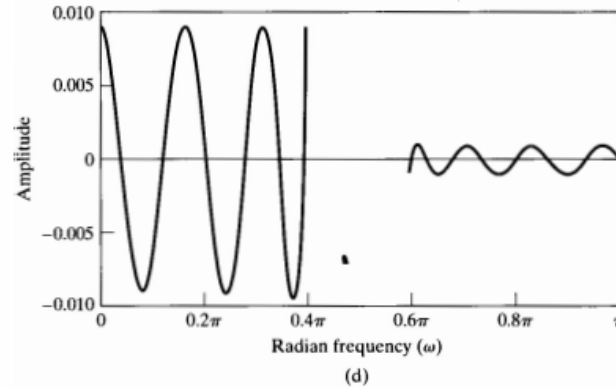
ساختارهای
Lattice

اثر کوانتیزاسیون ضرایب

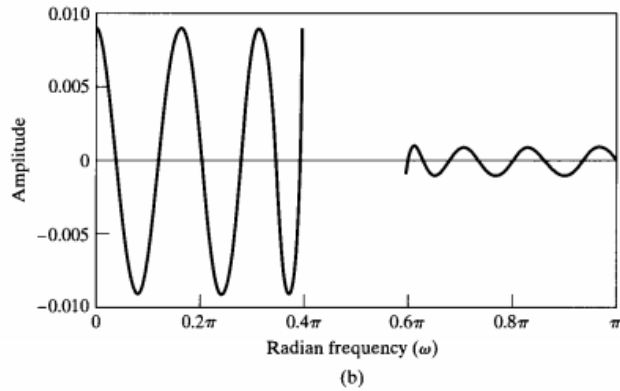
(a) لگاریتم پاسخ فرکانسی بدون کوانتیزاسیون



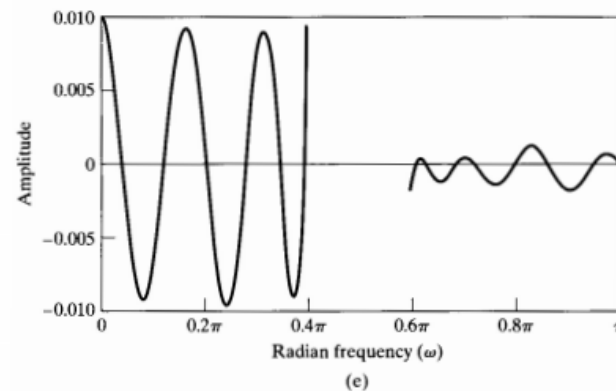
(b) خطای باند عبور و باند توقف در حالت بدون کوانتیزاسیون



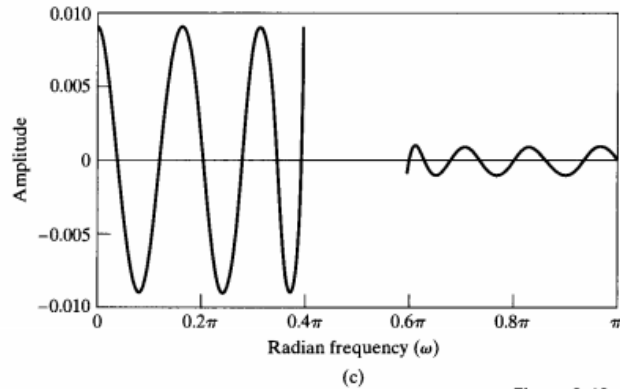
(c) خطای باند عبور و باند توقف در حالت کوانتیزاسیون ۱۶ بیتی



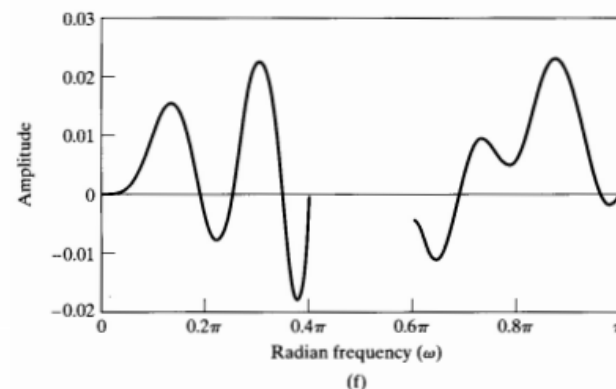
(d) خطای باند عبور و باند توقف در حالت کوانتیزاسیون ۱۴ بیتی



(e) خطای باند عبور و باند توقف در حالت کوانتیزاسیون ۱۳ بیتی



(f) خطای باند عبور و باند توقف در حالت کوانتیزاسیون ۸ بیتی



بلوک دیاگرام
معادلات تفاضلی

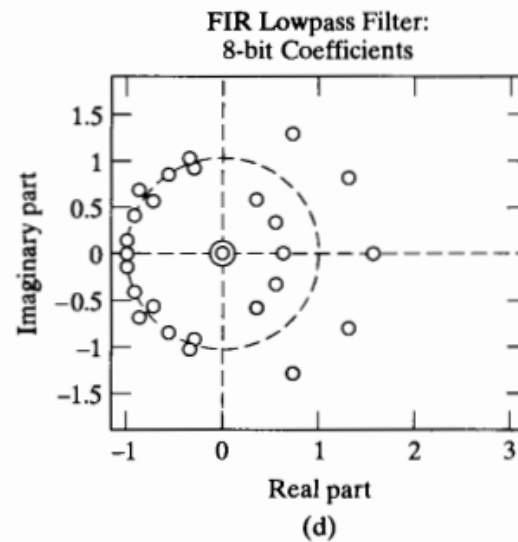
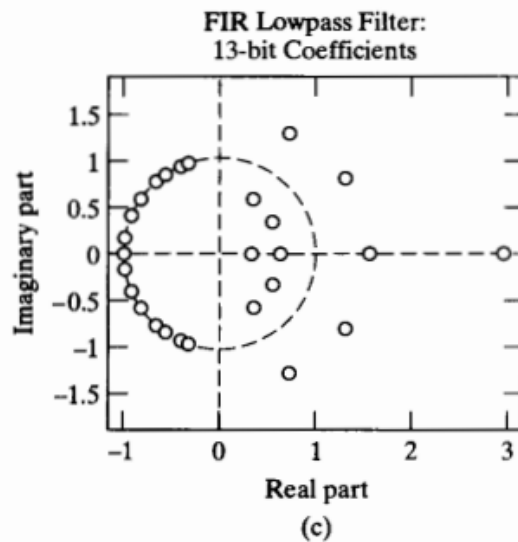
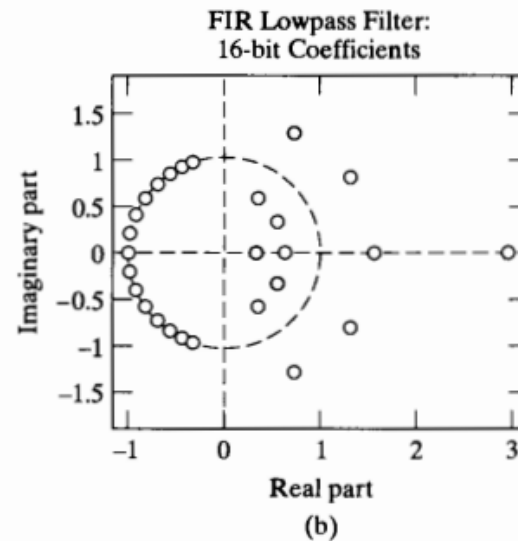
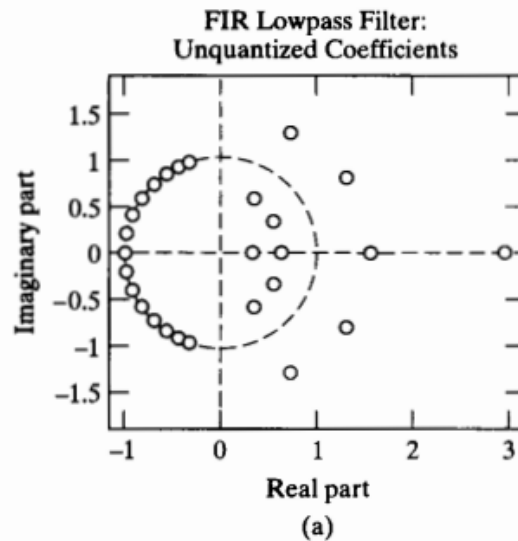
ساختار فیلترهای
IIR

ساختار فیلترهای
FIR

اثر کوانتیزاسیون
ضرایب

ساختارهای
Lattice

اثر کوانتیزاسیون ضرایب



بلوک دیاگرام
معادلات تفاضلی

ساختار فیلترهای
IIR

ساختار فیلترهای
FIR

اثر کوانتیزاسیون
ضرایب

ساختارهای
Lattice

End of Chapter 6



بلوک دیاگرام
معادلات تفاضلی

ساختار فیلترهای
IIR

ساختار فیلترهای
FIR

اثر کوانتیزاسیون
ضرایب

ساختارهای
Lattice